

# ОПРЕДЕЛЕНИЕ ЭНЕРГЕТИЧЕСКИХ ЩЕЛЕЙ В МЕТАЛЛАХ ОПТИЧЕСКИМ МЕТОДОМ

*И.Д.Маш, Г.П.Мотулевич, А.А.Шубин*

В работе предложен метод разделения перекрывающихся полос межзонной проводимости, основанный на использовании аналитических свойств комплексной диэлектрической проницаемости, связанной с межзонными переходами. Метод позволяет определить число полос межзонной проводимости, найти положения максимумов отдельных полос, и, таким образом, определить энергетические щели в металлах. Метод применен к анализу экспериментальных результатов для ванадия.

1. Измерение оптических постоянных металлов позволяет получить много ценной информации об их электронной структуре [1]. В частности, изучая межзонные переходы, можно определить энергетические щели в металлах, связанные с периодическим статическим потенциалом решетки. Структура межзонных переходов состоит из ряда полос с максимумами для  $\epsilon_2(\omega)$  и областями аномальной дисперсии для  $\epsilon_1(\omega)$ , где  $\epsilon_1 = \epsilon_1 + i\epsilon_2$  — комплексная диэлектрическая проницаемость. Как правило полосы имеют большую ширину и перекрываются между собой. Положения максимумов  $\omega_{max}$  полос определяют энергетические щели, имеющиеся в металле для электронных состояний в области брэгговских плоскостей. Поэтому важно уметь разделять отдельные полосы и находить  $\omega_{max}$ . Настоящая работа посвящена этой задаче.

2. Основная структура полос межзонной проводимости связана с брэгговскими плоскостями. Изоэнергетические поверхности вблизи указанных плоскостей идут параллельно, что приводит к максимумам комбинированной межзонной плотности состояний и к соответствующим максимумам функции  $\epsilon_2(\omega)$  [2, 3]. Форма полос межзонной проводимости рассчитана в работах [3]. Обозначим  $\epsilon_g$  вклад в суммарную диэлектрическую проницаемость  $\epsilon$  переходов, связанных с физически эквивалентными брэгговскими плоскостями, которые мы будем обозначать индексом  $g$ .

$$\epsilon_g = \epsilon_{1g} + i\epsilon_{2g} = C_g \int_0^\infty \frac{dx}{(1+x^2)^{3/2}} \left[ \frac{1}{\sqrt{1+x^2} - \omega'_g - i\nu'_g} + \frac{1}{\sqrt{1+x^2} + \omega'_g + i\nu'_g} \right], \quad (1)$$

$$\omega'_g = \omega/\omega_g; \quad \nu'_g = \nu_g/\omega_g; \quad \omega_g = 2|V_g|/\hbar, \quad (2)$$

где  $C_g$  — константа,  $\nu_g$  — эффективная частота соударений,  $V_g$  — фурье компонента псевдопотенциала. В работе [3] приводятся результаты численного вычисления интеграла для разных  $\omega'_g$  и  $\nu'_g$ . Ниже индекс  $g$  мы будем опускать.

Для интеграла может быть получено аналитическое выражение, использование которого дает следующие формулы<sup>1)</sup>:

$$\epsilon_1(\omega', \nu') + i\epsilon_2(\omega', \nu') = C\pi \frac{(1 - \omega'^2 + \nu'^2 + A) + i\nu'\omega'(2 + 1/A)}{(1 - \omega'^2 + \nu'^2 + A)^2 + (\nu'\omega')^2(2 + 1/A)^2}, \quad (3)$$

$$A = \left[ \frac{1}{2} (1 - \omega'^2 + \nu'^2 + \sqrt{(1 - \omega'^2 + \nu'^2)^2 + 4\omega'^2\nu'^2}) \right]^{\frac{1}{2}}. \quad (4)$$

3. Независимо от формы полос межзонного поглощения для нашей цели мы воспользуемся только тем обстоятельством, что  $\epsilon = \epsilon_1 + i\epsilon_2$  является аналитической комплексной функцией комплексного аргумента  $z = \omega' + i\nu'$ . Можно перейти от функции  $\epsilon$  к функции  $\epsilon^* = \epsilon - \gamma d\epsilon/dz$ . Преобразование связано с изменением линейного члена разложения  $\epsilon$  по  $z$  в точке  $(\omega', \nu')$ . При  $\gamma < \nu'$  линейный член уменьшается, при  $\gamma > \nu'$  он меняет знак. Уменьшение линейного члена или изменение его знака приводит к сужению полос, что позволяет легко разделить перекрывающиеся полосы. Разделив действительную и мнимую части и перейдя от  $d\epsilon/dz$  к  $d\epsilon/d\omega$ , получим

$$\epsilon_1^* = \epsilon_1 + \gamma d\epsilon_2/d\omega; \quad \epsilon_2^* = \epsilon_2 - \gamma d\epsilon_1/d\omega. \quad (5)$$

Проиллюстрируем метод на межзонах переходах, описываемых уравнением (3). На рис. 1, а и 1, б приведены функции  $\epsilon_1^*(\omega')$  и  $\epsilon_2^*(\omega')$  при  $\nu' = 0,4$  и разных  $\gamma$ . Из рисунков видно насколько существенно улучшается разрешение отдельных полос.

4. При использовании предложенного метода для обработки экспериментальных результатов нужно иметь в виду, что метод предполагает наличие достаточно подробных и точных измерений и обязательно требует предварительного сглаживания экспериментальных функций  $\epsilon_1(\omega)$  и  $\epsilon_2(\omega)$ . Чем больше коэффициент  $\gamma$ , тем больше влияние члена с про-

<sup>1)</sup> Эквивалентные выражения были получены в работе [4]. Однако в статье допущена опечатка для действительной части интеграла. Правильные формулы имеют вид

$$\epsilon_2 = \frac{2\pi C \omega' / \nu'}{(\omega'^2 + \nu'^2)^2} \left[ \frac{\omega'^2 - \nu'^2 - 1/2}{b(a^2 + b^2)} - \frac{1}{2b} + 1 \right];$$

$$\epsilon_1 = \frac{\pi C}{2(a^2 + b^2)b} - \frac{\omega'^2 - \nu'^2}{2\omega' / \nu'} \epsilon_2; \quad a^2 + b^2 = [(1 - \omega'^2 + \nu'^2)^2 + 4\omega'^2\nu'^2]^{\frac{1}{2}};$$

$$b^2 = \frac{1 - \omega'^2 + \nu'^2}{2} + \frac{1}{2} [(1 - \omega'^2 + \nu'^2)^2 + 4\omega'^2\nu'^2]^{\frac{1}{2}}.$$

изводной и тем более жесткие требования к шагу измерений и к степени сглаживания. Для каждой области спектра должно быть подобрано оптимальное значение  $\gamma$ .

Далее, величины энергетических щелей можно определить, используя соотношение  $\Delta \approx \hbar\omega_{max}$ , где  $\Delta$  — соответствующая энергетическая щель,  $\omega_{max}$  — положение максимума функции  $\epsilon_2(\omega)$ . Если требуется большая точность для  $\Delta$ , то следует учесть небольшую разность между этими величинами, связанную с величиной  $\nu'$ . Этот вопрос обсуждается в работах [3].

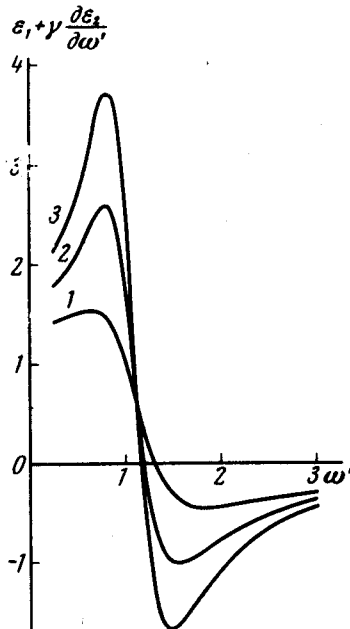


Рис. 1, а. Зависимость функции  $\epsilon_1(\omega') + \gamma d\epsilon_2(\omega)/d\omega'$  от  $\omega'$  при  $\nu' = 0,4$ : 1 —  $\gamma = 0$ ; 2 —  $\gamma = 0,4$ ; 3 —  $\gamma = 0,8$

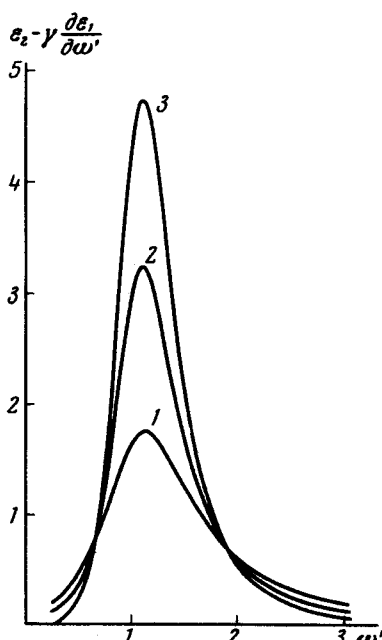


Рис. 1, б. Зависимость функции  $\epsilon_2(\omega') - \gamma d\epsilon_1(\omega)/d\omega'$  от  $\omega'$  при  $\nu' = 0,4$ : 1 —  $\gamma = 0$ ; 2 —  $\gamma = 0,4$ ; 3 —  $\gamma = 0,8$

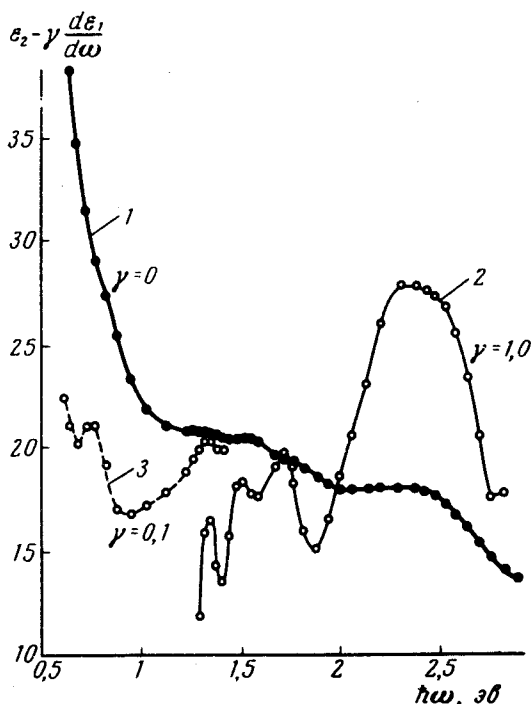


Рис. 2. Разделение полос межзонной проводимости ванадия. По оси ординат — экспериментальные значения функции  $\epsilon_2(\omega) - \gamma d\epsilon_1(\omega)/d\omega$ ; 1 —  $\gamma = 0$ ; 2 —  $\gamma = 1,0$  эв; 3 —  $\gamma = 0,1$  эв

5. Предложенный метод применен к анализу оптических постоянных ванадия [5]. От безразмерных  $\omega'$  и  $\gamma$  мы перешли к  $\omega$  и  $\gamma$  в единицах эв. Экспериментальные функции  $\epsilon_1(\omega)$  и  $\epsilon_2(\omega)$  предварительно сглаживались по алгоритму, использующему многочлены третьей степени [6]. На рис. 2 приводятся функция  $\epsilon_2(\omega)$  (кривая 1) и функции  $\epsilon_2(\omega) - \gamma d\epsilon_1(\omega)/d\omega$ . В видимой области  $\gamma = 1,0$  эв (кривая 2), в инфракрасной  $\gamma = 0,1$  (кривая 3). Из рисунка ясно видно, как существенно улучшилось разрешение полос межзонной проводимости. В спектральной области  $0,5 \div 2,8$  эв у ванадия наблюдается пять полос с максимумами при  $0,75; 1,35; 1,51; 1,72$  и  $2,30$  эв. Таким образом, у ванадия в указанной области имеется пять энергетических щелей, значения которых близки к приведенным значениям  $\omega_{max}$ . Дальнейшее уточнение значений  $\Delta$  требует знания  $\nu'$ . Отождествление полос требует дополнительных исследований.

Физический институт им. П.Н.Лебедева  
Академии наук СССР  
Литература

Поступила в редакцию  
16 ноября 1977 г.

- [1] Г.П.Мотулевич. УФН, 97, 211, 1969; Труды ФИАН, 55, 3, 1971.
- [2] W.A.Harrison. Phys. Rev., 147, 467, 1966.
- [3] А.И.Головашкин, Г.П.Мотулевич. ЖЭТФ, 57, 1054, 1969; Препринт ФИАН, №76, 1, 1969.
- [4] И.Д.Маш. Труды ФИАН, 82, 3, 1975.
- [5] А.И.Головашкин, И.Д.Маш, Г.П.Мотулевич. Краткие сообщения по физике, №9, 51, 1970.
- [6] В.Э.Милн. Численный анализ. М., ИИЛ, 1951.